

→ índices de desempenho p/ sistemas de 2ª ordem

a) "overshoot" (sobre-sinal)

máximo

$$y(t) = K \left[1 - e^{-\zeta \omega_n t} \frac{\sin(\omega_n \sqrt{1-\zeta^2} t + \cos^{-1} \zeta)}{\sqrt{1-\zeta^2}} \right]$$

$$\frac{dy(t)}{dt} = 0 \rightarrow t = n\pi$$

$$\frac{dt}{\omega_n \sqrt{1-\zeta^2}}$$

$$n=1 \rightarrow t_{\text{máx}} = \frac{\pi}{\omega_n \sqrt{1-\zeta^2}} \rightarrow y_{\text{máx}} = K \left[1 + \exp\left(-\frac{\pi \zeta}{\omega_n}\right) \right]$$

b) tempo de acomodação (settling time): tempo para que a saída fique limitada no intervalo de $0,95K \leq t \leq 1,05K$

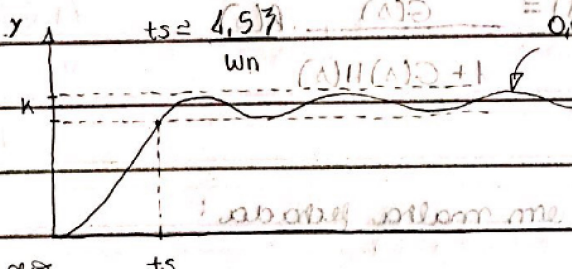
$$ts = \frac{4,5\zeta}{\omega_n} = \frac{4,5\zeta}{0,69 < \zeta < 1}$$

i. $0 < \zeta < 0,69$

$$ts \approx 3,2$$

$$\zeta \omega_n$$

exemplo gráfico passado

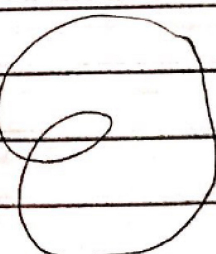


c) tempo de subida (rise time): tempo para que a saída passe de 10% para 90% do valor de regime.

$$tr \approx 0,8 + 2,5\zeta \quad \text{ou} \quad tr \approx 1 - 0,4167\zeta + 2,9167\zeta^2$$

sequência de ganho:

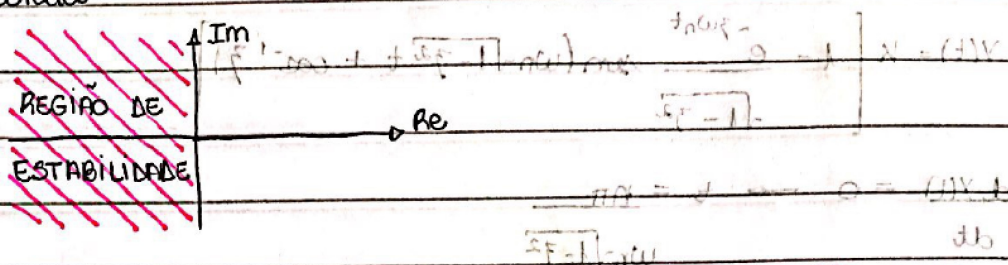
$$20 \log \frac{492}{104}$$



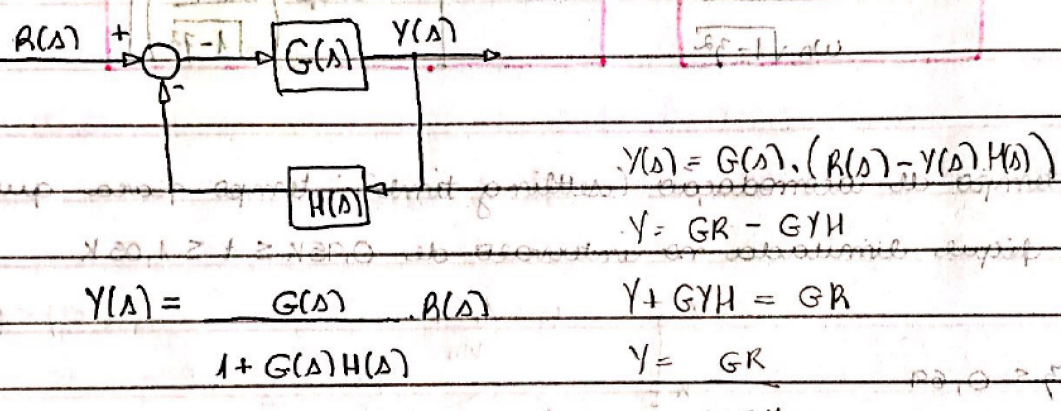
Aula 17: método de lugar de raízes

→ métodos de Análise da estabilidade relativa (ordem "progressivo" (a))

- Estabilidade "Absoluta"



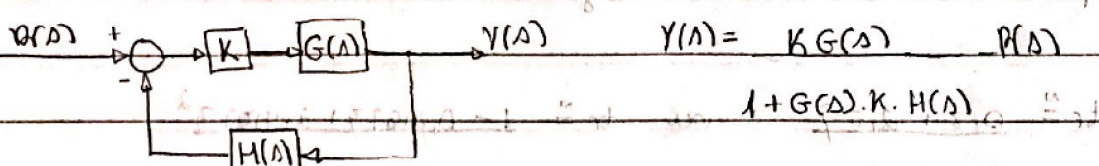
- Estabilidade Relativa



- Pôlos do sistema em malha fechada:

$$P = \{ \lambda \in C \mid 1 + G(\lambda)H(\lambda) = 0 \}$$

incluindo K:



$$P = \{ \lambda \in C \mid 1 + KG(\lambda)H(\lambda) = 0 \}$$

• definição: o lugar de raízes de um sistema em malha fechada é o conjunto de polos obtido variando-se K entre $-\infty$ e $+\infty$.

• pergunta: quais as condições para que um ponto s no plano complexo pertença ao lugar de raízes de um sistema?

→ $K \cdot G(s) \cdot H(s)$ pode ser dado na forma ZERO - POLO - GANHO:

$$KG(s)H(s) = K' (s+z_1)(s+z_2)\dots(s+z_m)$$

$$(s+p_1)(s+p_2)\dots(s+p_n)$$

$$1 + KG(s)H(s) = 0 \rightarrow KG(s)H(s) = -1$$

a) condição de magnitude

$$|G(s)H(s)| = 1$$

$|K|$

IMPORTANTE NA CONSTRUÇÃO
NO LUGAR DE RAÍZ

b) condição de ângulo

i) $K \geq 0$, $|G(s)H(s)| = (2x + 1)\pi$, $x \in \mathbb{Z}$

ii) $K < 0$, $|G(s)H(s)| = 2\pi n$, $n \in \mathbb{N}$

IMPORTANTE NA

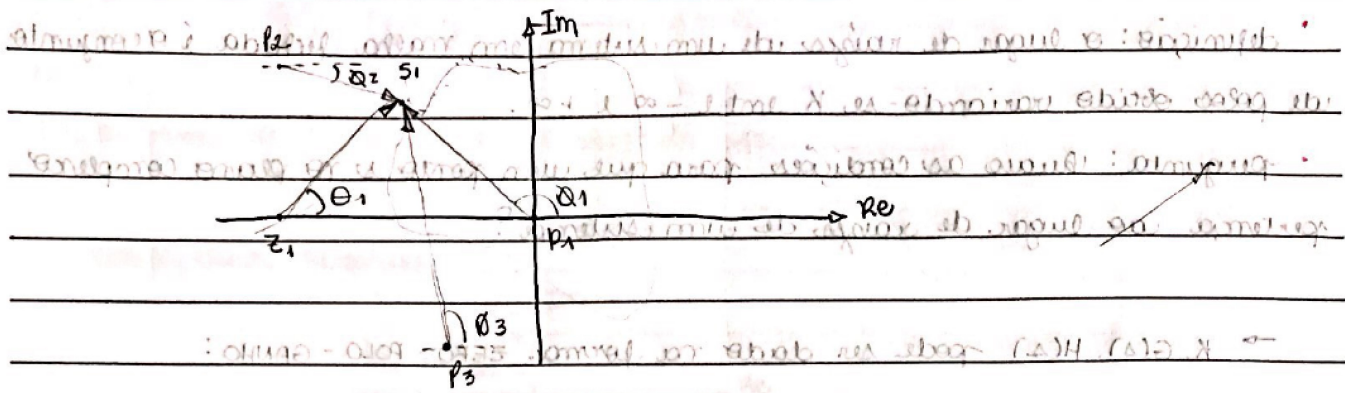
CONSTRUÇÃO DO

LUGAR DE RAÍZ

exemplos:

$$G(s)H(s) = K \cdot (s+z_1)$$

$$s(s+p_1)(s+p_2)$$

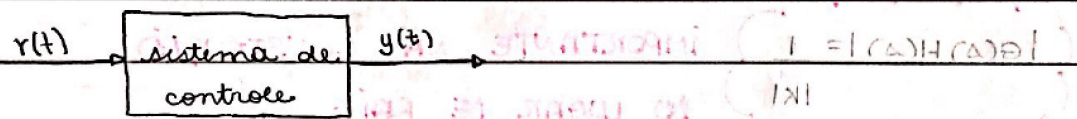


$$\Rightarrow p_1 \neq 0 \quad (m_1 s + n_1) \dots (m_k s + n_k) H(s) = (s - p_1)(s - p_2)(s - p_3)$$

$$\theta_1 - \theta_2 - \theta_3 = (2k+1)\pi + \arg H(p_1) \quad k \in \mathbb{Z}$$

Aula 18: Análise de resposta em frequência

→ Análise da resposta em frequência.



$$r(t) = R \sin(\omega t)$$

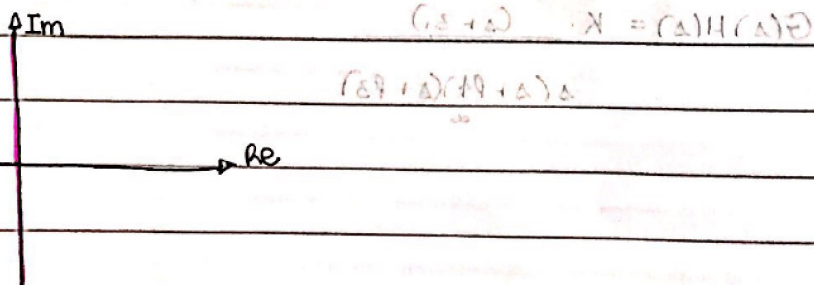
$$y(t) = Y \sin(\omega t + \phi)$$

$$Y(s) = Y \frac{\sin(\omega t + \phi)}{\sin(\omega t)} = Y \frac{1 + j\omega}{1 - j\omega} = Y \frac{(1 + j\omega)^2}{(1 - j\omega)(1 + j\omega)} = Y \frac{(1 + j\omega)^2}{1 + \omega^2} \quad \omega \leq K \quad (1)$$

$$\cdot \text{domínio da frequência} \quad Y(s) = Y \frac{(1 + j\omega)^2}{1 + \omega^2} \quad \omega > K \quad (2)$$

$$Y(s) = H(s) \cdot R(s)$$

• para sinais senoidais com frequência e amplitude constantes:



$$Y(j\omega) = H(j\omega) \cdot R(j\omega)$$

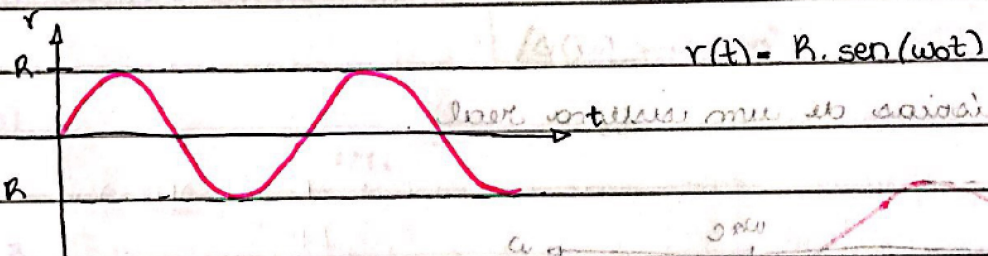
- pode-se então utilizar a representação na forma polar (notação fasorial):

$$Y(j\omega) = |Y(j\omega)| / \angle Y(j\omega)$$

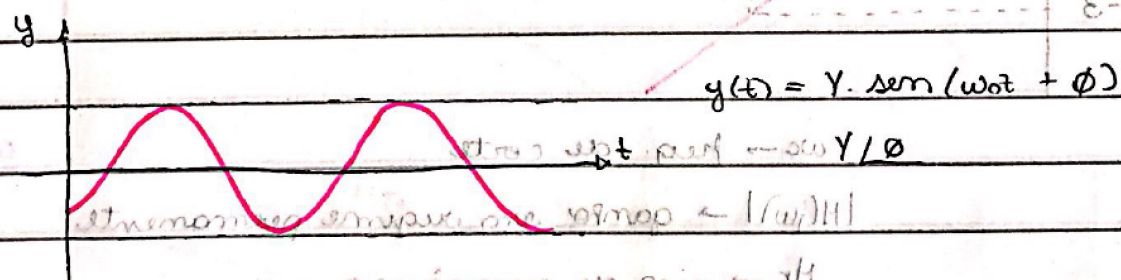
Assim:

$|Y(j\omega)| = |H(j\omega)| \cdot |R(j\omega)|$

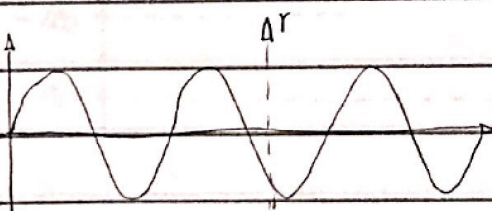
$$|Y(j\omega)| = |H(j\omega)| + |R(j\omega)|$$



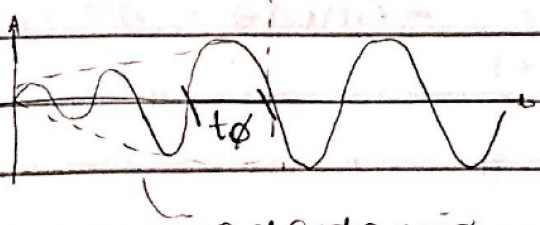
$$r(t) = R \cdot \sin(\omega t)$$



$$y(t) = Y \cdot \sin(\omega t + \phi)$$



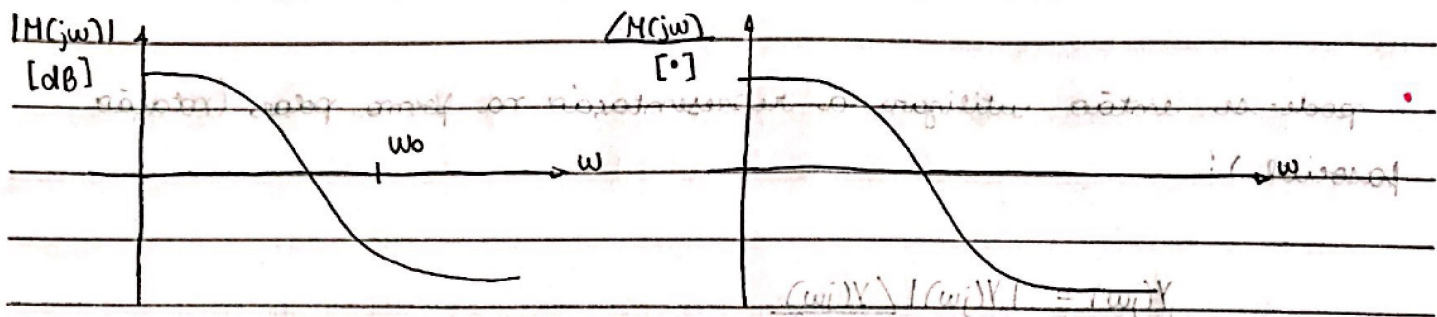
• regime permanente
senoidal



adaptação

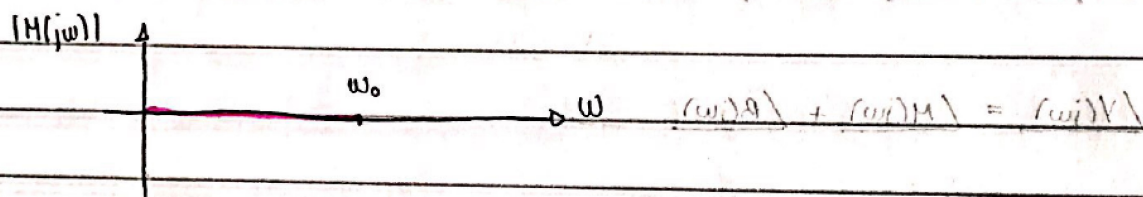
diagramas de Bode

$$|H(j\omega)| = |H(j\omega)|$$

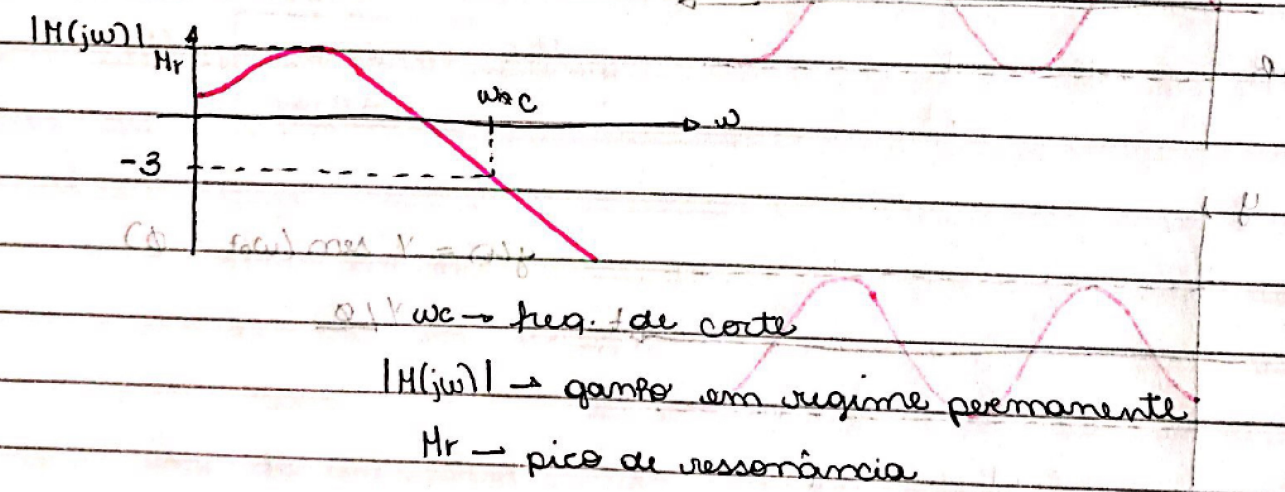


- especificações no domínio da frequência

- características de um filtro passa-baixas ideal



- características de um sistema real



Aula 19: resposta em frequência de sistemas de 1^o ordem

→ Resposta em frequência de sistemas de 1^o ordem

$$G(s) = \frac{1}{T_1 s + 1} \rightarrow \text{pole em } s = -1/T_1$$

$-1/T_1$

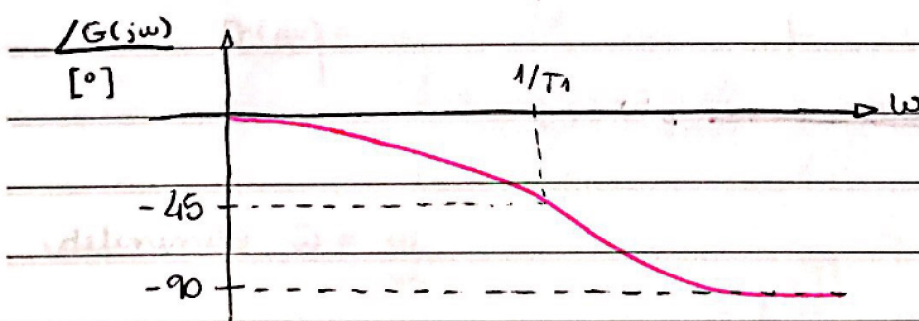
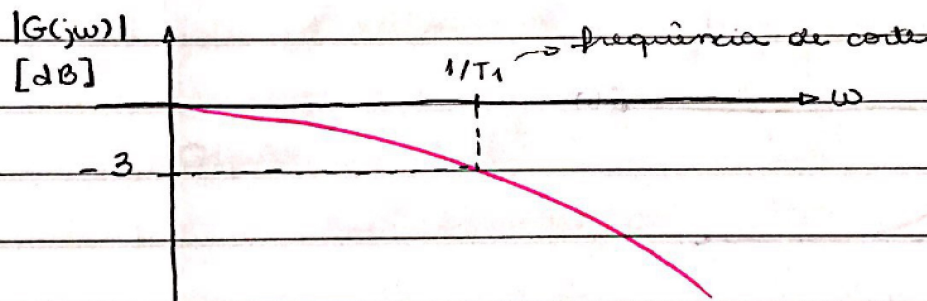
\times

$-1/T_1$

$$G(j\omega) = \frac{1}{j\omega T_1 + 1}$$

$$\text{p/ } \omega=0 \rightarrow G(j0)=1 \rightarrow \begin{cases} |G(j0)| = 0 \text{dB} \\ \angle G(j0) = 0^\circ \end{cases}$$

$$\text{p/ } \omega \rightarrow \infty \rightarrow G(\infty) \rightarrow 0 \rightarrow \begin{cases} |G(j\omega)| \rightarrow -\infty \\ \angle G(j\omega) \rightarrow \pi - 90^\circ \end{cases}$$



$$\text{p/ } \omega = 1/T_1 = G(j1/T_1) = \frac{1}{1+j} \rightarrow \begin{cases} |G(j1/T_1)| = -3 \text{dB} \\ \angle G(j1/T_1) = -45^\circ \end{cases}$$

- efeto da adição de um zero em um sistema de 1^a ordem

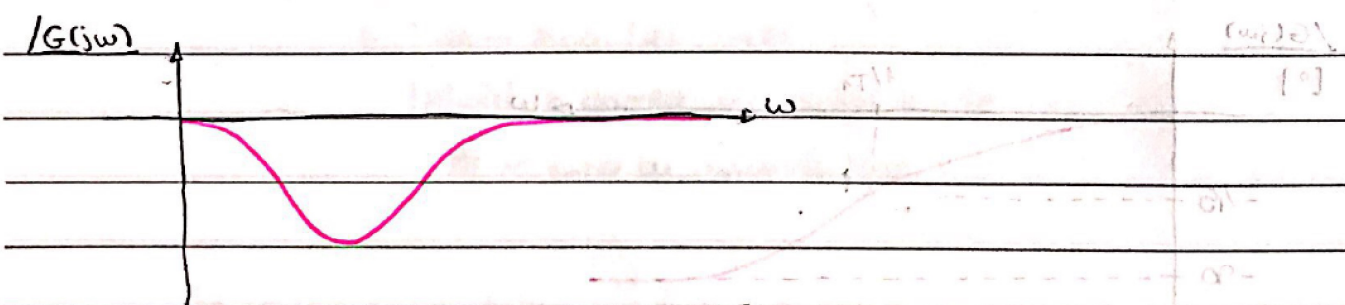
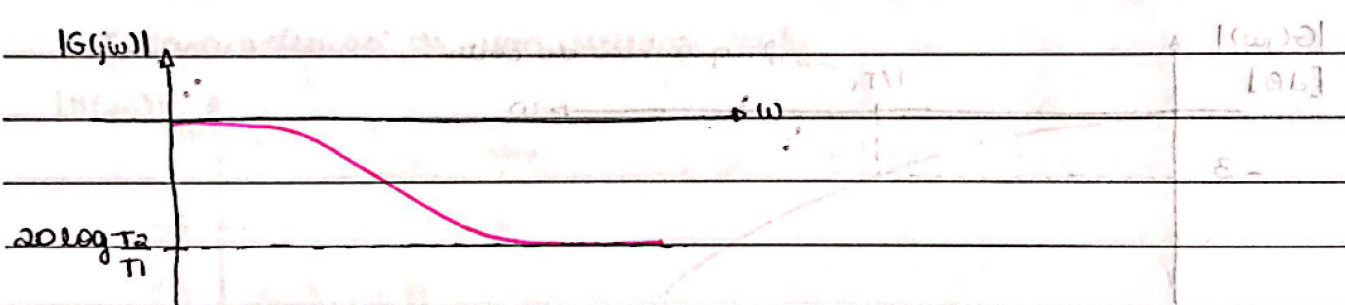
$$G(s) = \frac{T_2 s + 1}{T_1 s + 1} \rightarrow \begin{cases} \text{polo em } s = -1/T_1 & \\ \text{zero em } s = -1/T_2 & \end{cases}$$

$\omega_n = \sqrt{T_2} \quad \phi_m = 90^\circ$

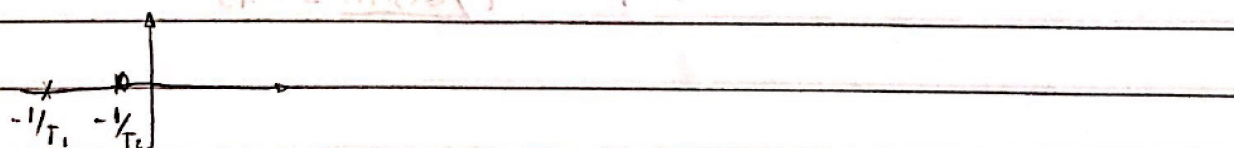
$$G(j\omega) = \frac{j\omega T_2 + 1}{j\omega T_1 + 1}$$

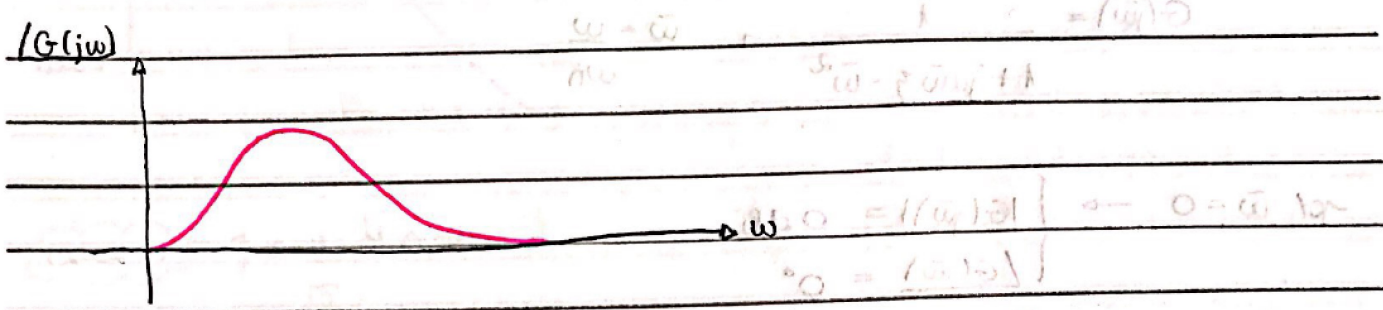
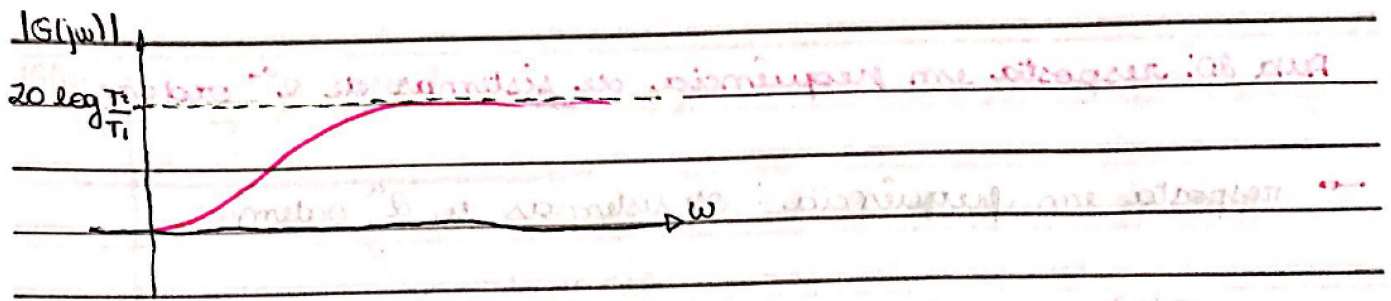
$\rightarrow 1^{\circ} \text{ caso: } T_1 > T_2$

$\Rightarrow \omega \rightarrow \infty \rightarrow G(j\omega) \rightarrow T_2 \rightarrow \left| \frac{1}{G(j\omega)} \right| \rightarrow 20 \log \frac{T_2}{T_1} \rightarrow \infty$



$\rightarrow 2^{\circ} \text{ caso: } T_2 > T_1$ (compensador de atraso de fase)





→ Resposta em frequência em sistemas de 2ª ordem

$$G(s) = \frac{\omega_n^2}{s^2 + 2\zeta\omega_n s + \omega_n^2}$$

$$G(j\omega) = \frac{\omega_n^2}{(j\omega)^2 + 2\zeta\omega_n(j\omega) + \omega_n^2} = \frac{1}{\omega_n^2}$$

$$\omega = \sqrt{\omega_n^2 + \zeta^2 \omega_n^2}$$

$$G(j\omega) = \frac{1}{1 + j2\zeta(\frac{\omega}{\omega_n}) + (\frac{\omega}{\omega_n})^2}$$

definindo $\bar{\omega} = \frac{\omega}{\omega_n}$:

$$G(j\bar{\omega}) = \frac{1}{1 + j2\bar{\omega} + \bar{\omega}^2}$$

$$|G(j\bar{\omega})| = \frac{1}{[(1 - \bar{\omega}^2)^2 + (2\bar{\omega})^2]^{1/2}}$$

$$|G(j\bar{\omega})| = \frac{1}{\sqrt{1 - \bar{\omega}^2}} \quad |G(j\bar{\omega})| = -\tan^{-1} 2\bar{\omega}$$

Ficha 20: resposta em frequência de sistemas de 2º ordem

→ resposta em frequência: os sistemas de 2º ordem

$$G(j\bar{\omega}) = \frac{1}{1 + j\bar{\omega}\zeta - \bar{\omega}^2}, \quad \bar{\omega} = \omega_n$$

→ p/ $\bar{\omega} = 0 \rightarrow \begin{cases} |G(j\bar{\omega})| = 0 \text{ dB} \\ \angle G(j\bar{\omega}) = 0^\circ \end{cases}$

→ p/ $\bar{\omega} \rightarrow \infty \rightarrow \begin{cases} |G(j\bar{\omega})| = -\infty \text{ dB} \\ \angle G(j\bar{\omega}) = -180^\circ \end{cases}$

• pico de ressonância

$$\text{d } |G(j\bar{\omega})| \text{ onde } |G(j\bar{\omega})| = \frac{1}{\sqrt{[(1-\bar{\omega}^2)^2 + (2\bar{\omega}\zeta)^2]^{1/2}}}$$

$$\text{d } |G(j\bar{\omega})| = \frac{1}{2} [(1-\bar{\omega}^2)^2 + (2\bar{\omega}\zeta)^2]^{-3/2} \cdot (4\bar{\omega}^3 - 4\bar{\omega} + 8\bar{\omega}\zeta^2) = 0$$

portanto:

$$4\bar{\omega}^3 - 4\bar{\omega} + 8\bar{\omega}\zeta^2 = 4\bar{\omega}(\bar{\omega}^2 - 1 + 2\zeta^2) = 0$$

$$\bar{\omega}^2 - 1 + 2\zeta^2 = 0 \rightarrow \bar{\omega}_r = \sqrt{1 - 2\zeta^2}$$

$$\omega_r = \omega_n \sqrt{1 - 2\zeta^2}$$